

الله



دانشگاه صنعتی اصفهان

دانشکده مهندسی مواد

بررسی رفتار خوردگی مقاطع جوش فولاد زنگنزن دوفازی کمآلیاژ پس از فرایند جوشکاری اصطکاکی-اغتشاشی GOST ۵۶۳۲

پایان نامه کارشناسی ارشد مهندسی مواد - خوردگی و حفاظت از مواد

حسین سرلک

استاد راهنما

دکتر مسعود عطاپور



دانشگاه صنعتی اصفهان

دانشکده مهندسی مواد

پایان نامه کارشناسی ارشد رشته خوردگی و حفاظت از مواد آقای حسین سرلک

تحت عنوان

بررسی رفتار خوردگی مقاطع جوش فولاد زنگ نزن دوفازی کمآلیاژ
پس از فرایند جوشکاری اصطکاکی-اغتشاشی GOST ۵۶۳۲

در تاریخ ۱۳۹۳/۹/۲۳ توسط کمیته تخصصی زیر مورد بررسی و تصویب نهایی قرار گرفت.

دکتر مسعود عطاپور

۱- استاد راهنمای پایان نامه

دکتر محمدعلی گلزار

۲- استاد داور

دکتر عبدالمجید اسلامی

۳- استاد داور

دکتر کیوان رئیسی

سرپرست تحصیلات تکمیلی دانشکده

مشکر و قدردانی

پاس بیکران پروردگار یکتا را که به هنرمندانی مذکور است و بر احسانی مشکور و به هر مكانی معمود، خداوندی که مارابه طریق علم و دانش رسمون ساخت، به همین شیوه رهوان علم و دانش مفتخرا نمود و خوش چشمی از علم و معرفت را روزیان قرار داد.

خدای را بسی شاکر کرد که از روی لطف و کرم، پدر و مادری فداکار و هسری همچنان نصیب کرده تا در راه کسب علم و دانش یار و یارم باشند. عزیزانی که وجودشان تلاع افتخاری است بر سرم، نشان دلیل است بر بودن و تابد پاسکارشان خواهم بود.

حالا صاحب ترین پاس هاتقدیم به استاد ارجمند جناب آقای دکتر عطای پور که با آرامش و حضور همیشگی شان، راهنمایی و هدایت این پایان نامه را بر عهده داشتند.

مشکر می کنم از استادیگر کرامی جناب آقایان دکتر کاعذار و دکتر اسلامی که زحمت بازخانی و داوری این پایان نامه را قبول فرمودند. همچنین از استادیگر کوارداشکده مواد، جناب آقایان دکتر سیدی، دکتر اشرافی زاده، دکتر صاحبی، دکتر رئیسی، دکتر اشرفی و سایر بزرگوارانی که افتخار شاکر ویشان را داشتم کمال قدردانی را دارم.

از جناب آقایان دکتر شمعانیان، دکتر توحید سعید، مهندس اسماعیل زاده، مهندس کارکرد و از مولیان آزمایشگاه ها به ویژه جناب آقایان مهندس خردمند، مهندس رحیم زاده و مهندس عربیان به خاطر گفک های بی دین و خالصانه شان پاسکارم.

همچنین از تماشی دوستان و همکلاسیان عزیزم کمال مشکر را داشته و از خداوند متعال توفیق روز افزون را برایشان طلب می کنم.

و سراجام،

با پاس از هر که شایسته تقدیر و مشکر بود و به زبان نیاوردم...

حسین سرلک

پاییز ۹۳

کلیه حقوق مادی مترتب بر نتایج مطالعات،
ابتكارات و نوآوریهای ناشی از تحقیق موضوع
این پایان نامه متعلق به دانشگاه صنعتی اصفهان
است.

تهدیم بہ:

پدرم بہ استواری کوہ

مادرم بہ زلالی چشمہ

وہ مسرم بہ صمیت باران

فهرست مطالب

صفحه	عنوان
سه	فهرست مطالب
پنج	فهرست شکل‌ها
هفت	فهرست جداول
۱	چکیده
	فصل اول: مقدمه
	فصل دوم: مروری بر مطالب
۵	۱-۲ فولادهای زنگنزن
۵	۱-۱-۲ معرفی فولادهای زنگنزن
۶	۱-۲-۲ انواع فولادهای زنگنزن
۶	۲-۱-۲ فولادهای زنگ نزن دوفازی
۶	۲-۲-۲ معرفی فولادهای زنگنزن دوفازی
۷	۲-۲-۲-۲ انواع فولادهای زنگنزن دوفازی
۸	۳-۲-۲ معرفی فولاد زنگنزن دوفازی کم آلیاژ GOST ۵۶۳۲
۹	۴-۲-۲ خواص فیزیکی فولادهای زنگنزن دوفازی
۱۲	۵-۲-۲ خواص مکانیکی فولادهای زنگنزن دوفازی
۱۴	۶-۲-۲ خواص خوردگی فولادهای زنگنزن دوفازی
۱۵	۳-۲ جوشکاری ذوبی فولادهای زنگنزن دوفازی
۱۵	۱-۳-۲ متالورژی جوشکاری فولادهای زنگنزن دوفازی
۱۶	۲-۳-۲ رفتار انجامدی در حین جوشکاری
۱۶	۳-۳-۲ انتخاب مواد اولیه
۱۷	۴-۳-۲ نقش نیتروژن در جوشکاری فولادهای زنگنزن دوفازی
۱۸	۵-۳-۲ گرمای ورودی و دمای بین پاسی
۱۹	۶-۳-۲ ناجیه متأثر از حرارت
۲۲	۴-۲ جوشکاری اصطکاکی-اغتشاشی
۲۴	۱-۴-۲ پارامترهای فرایند
۲۴	۴-۲-۱-الف هندسه ابزار
۲۵	۴-۲-۱-ب پارامترهای جوشکاری
۲۷	۵-۲ خوردگی مقاطع جوش فولادهای زنگنزن پس از جوشکاری اصطکاکی-اغتشاشی
۳۹	۶-۲ جمع‌بندی و هدف
	فصل سوم: مواد و روش‌ها
۴۱	۳-۱ مواد مورد استفاده
۴۱	۳-۲ آماده‌سازی و جوشکاری

۴۲	۳-۳ مشخصه یابی
۴۲	۴-۳ آزمون‌های خوردگی
۴۴	۳-۴-۱ اندازه‌گیری پتانسیل مدار باز
۴۴	۳-۴-۲ آزمون پلاریزاسیون خطی
۴۴	۳-۴-۳ آزمون پلاریزاسیون پتانسیودینامیک
۴۴	۳-۴-۴ آزمون پلاریزاسیون چرخه‌ای
۴۴	۳-۴-۵ آزمون آمپرmetr با مقاومت داخلی صفر
۴۵	۳-۴-۶ آزمون طیف‌سننجی امپدانس الکتروشیمیایی
۴۵	۳-۴-۷ آزمون موت-شاتکی
۴۵	۳-۴-۸ آزمون غوطه‌وری
	فصل چهارم: نتایج و بحث
۴۶	۴-۱ بررسی ریزساختار
۵۱	۴-۲ بررسی رفتار خوردگی
۵۱	۴-۲-۱ اندازه‌گیری پتانسیل مدار باز
۵۳	۴-۲-۲ آزمون پلاریزاسیون خطی
۵۴	۴-۲-۳ آزمون پلاریزاسیون پتانسیودینامیک
۵۷	۴-۲-۴ آزمون پلاریزاسیون چرخه‌ای
۶۲	۴-۲-۵ آزمون آمپرmetr با مقاومت داخلی صفر
۶۶	۴-۲-۶ آزمون طیف‌سننجی امپدانس الکتروشیمیایی
۷۲	۴-۲-۷ آزمون موت-شاتکی
۷۴	۴-۲-۸ آزمون غوطه‌وری
	فصل پنجم: نتیجه‌گیری و پیشنهادات
۷۹	۵-۱ نتیجه‌گیری
۸۱	۵-۲ پیشنهادات
۸۲	۵-۳ مراجع

فهرست شکل‌ها

صفحه	عنوان
۹	۱-۲ نمودار WRC-۱۹۹۲ با گستره تقریبی ترکیب شیمیایی فولادهای زنگنزن دوفازی
۱۰	۲-۲ ریزساختار ریختگی فولاد زنگنزن دوفازی
۱۰	۳-۲ ریزساختار ریختگی فولاد زنگنزن دوفازی
۱۵	۴-۲ دماهای بحرانی خوردگی شیاری و حفره‌دار شدن برای فولادهای زنگنزن آستینی و فولادهای زنگنزن دوفازی
۱۷	۵-۲ حلالیت نیتروژن در فریت و در آستینیت
۱۹	۶-۲ سیکل حرارتی ناحیه متأثر از حرارت نزدیک به خط ذوب فولاد زنگنزن دوفازی با نسبت Creq/Nieq بالا
۲۱	۷-۲ ناحیه دما بالای نمودار فازی شبه دوتایی برای ترکیبات فولادهای زنگنزن دوفازی
۲۱	۸-۲ نمودار فازی ترموکالک برای فولاد زنگنزن دوفازی ۲۰۵
۲۲	۹-۲ تاثیر حرارت ورودی بر رشد دانه فریت
۲۴	۱۰-۲ تصویر شماتیک از جوشکاری اصطکاکی-اغتشاشی
۲۵	۱۱-۲ تصاویر شماتیک از انواع شانه و پین
۲۶	۱۲-۲ ریزساختار مناطق مختلف جوش اصطکاکی-اغتشاشی در SAF ۲۰۵
۲۷	۱۳-۲ تصاویر میکروسکوپی نوری از اندازه دانه ناحیه اغتشاش در سرعت‌های مختلف جوشکاری
۲۸	۱۴-۲ سطح مقطع و تصاویر نوری پس از آزمون محلول اسید سولفوریک-سولفات مس
۲۹	۱۵-۲ سطح مقطع عمود بر مسیر جوشکاری اصطکاکی-اغتشاشی پس از آزمون محلول اسید سولفوریک-سولفات آهن
۲۹	۱۶-۲ تصاویر میکروسکوپی الکترونی رویشی از مناطق مختلف نشان داده شده در شکل ۱۵-۲
۳۰	۱۷-۲ سطح مقطع جوشکاری اصطکاکی-اغتشاشی در زیرآب با سرعت چرخش ۴۰۰ rpm
۳۰	۱۸-۲ سطح مقطع جوشکاری اصطکاکی-اغتشاشی در زیرآب با سرعت چرخش ۵۰۰ rpm
۳۱	۱۹-۲ نمودارهای پلاریزاسیون چرخه‌ای فلز پایه و جوش فولادهای UNS S۳۲۷۶۰ و UNS S۳۲۷۵۰
۳۲	۲۰-۲ نرخ جریان بازگشتی و نرخ خوردگی در فلز پایه، ناحیه اغتشاش و ناحیه متأثر از حرارت
۳۳	۲۱-۲ سطح مقطع عملیات شده
۳۳	۲۲-۲ تصاویر میکروسکوپی الکترونی رویشی از مناطق مختلف نشان داده شده در شکل ۲۱-۲
۳۴	۲۳-۲ دوره نهفتگی و بیشترین نرخ فرسایش در آزمون‌های خوردگی حبابی
۳۴	۲۴-۲ کاهش جرم و نرخ‌های فرسایش در آزمون‌های خوردگی حبابی برای فلز پایه و عملیات شده UNS S۳۲۲۰۵
۳۵	۲۵-۲ نتایج آزمون خوردگی حبابی فولاد عملیات شده و عملیات نشده
۳۵	۲۶-۲ تصاویر نوری از فولاد عملیات شده و عملیات نشده
۳۶	۲۷-۲ منحنی‌های آزمون طیف‌سنجدی امپدانس الکتروشیمیایی برای آلیاژ ۵ S۳۲۲۰۵
۳۷	۲۸-۲ منحنی‌های آزمون طیف‌سنجدی امپدانس الکتروشیمیایی برای آلیاژ ۵ S۳۲۲۰۵ جوشکاری اصطکاکی-اغتشاشی شده
۳۸	۲۹-۲ منحنی‌های آزمون طیف‌سنجدی امپدانس الکتروشیمیایی برای آلیاژ ۵ S۳۲۱۰۵
۳۹	۳۰-۲ منحنی‌های آزمون طیف‌سنجدی امپدانس الکتروشیمیایی برای آلیاژ ۵ S۳۲۱۰۵ جوشکاری اصطکاکی-اغتشاشی شده
۴۵	۳-۱ شماتیکی از سلسله الکترودی مربوط به آزمون آمپر متر با مقاومت داخلی صفر

۱-۴	قطع عرضی فولاد زنگ نزن دوفازی GOST ۵۶۳۲ پس از جوشکاری اصطکاکی-اغتشاشی	۴۶
۲-۴	تصاویر میکروسکوپی الکترونی رویشی از نمونه های ۱، ۲، ۳ و ۴	۴۷
۳-۴	نمودارهای دما-زمان برای سرعت های مختلف پیشروی	۴۸
۴-۴	الگوی پراش پرتو ایکس برای نمونه های جوشکاری	۴۹
۵-۴	آنالیز عنصری از ناحیه اغتشاش نمونه ۲	۵۰
۶-۴	تصویر میکروسکوپی الکترونی رویشی از ناحیه ترمومکانیکی نمونه ۳	۵۱
۷-۴	تغییرات پتانسیل مدار باز بر حسب زمان برای نمونه های ۱، ۲، ۳ و ۴ در اسید سولفوریک ۰/۱ مولار	۵۲
۸-۴	پتانسیل مدار باز نمونه های ۱، ۲، ۳ و ۴ در مقیاس زمان لگاریتمی در اسید سولفوریک ۰/۱ مولار	۵۳
۹-۴	منحنی های پلاریزاسیون خطی نمونه های ۱، ۲، ۳ و ۴ در اسید سولفوریک ۰/۱ مولار	۵۴
۱۰-۴	منحنی های پلاریزاسیون پتانسیودینامیک نمونه های ۱، ۲، ۳ و ۴ در اسید سولفوریک ۰/۱ مولار	۵۵
۱۱-۴	منحنی های چگالی جریان-پتانسیل برای نمونه های ۱، ۲، ۳ و ۴ در اسید سولفوریک ۰/۱ مولار	۵۷
۱۲-۴	منحنی های پلاریزاسیون چرخه ای نمونه های ۱، ۲، ۳ و ۴ در اسید سولفوریک ۰/۱ مولار	۵۸
۱۳-۴	تصاویر میکروسکوپی نوری از همه نمونه ها پس از آزمون پلاریزاسیون چرخه ای در اسید سولفوریک ۰/۱ مولار	۵۸
۱۴-۴	منحنی های پلاریزاسیون چرخه ای همه نمونه ها در اسید سولفوریک ۰/۱ مولار+کلرید سدیم ۰/۱ مولار	۵۹
۱۵-۴	تصاویر پس از آزمون پلاریزاسیون چرخه ای در اسید سولفوریک ۰/۱ مولار+کلرید سدیم ۰/۱ مولار	۶۰
۱۶-۴	منحنی های پتانسیل گالوانیکی و چگالی جریان گالوانیکی برای کوپل ۱ در اسید سولفوریک ۰/۱ مولار	۶۳
۱۷-۴	منحنی های پتانسیل گالوانیکی و چگالی جریان گالوانیکی برای کوپل ۲ در اسید سولفوریک ۰/۱ مولار	۶۳
۱۸-۴	منحنی های پتانسیل گالوانیکی و چگالی جریان گالوانیکی برای کوپل ۳ در اسید سولفوریک ۰/۱ مولار	۶۴
۱۹-۴	ضریب تراکم بر حسب زمان برای کوپل های ۱، ۲ و ۳ در اسید سولفوریک ۰/۱ مولار	۶۵
۲۰-۴	منحنی های (الف) نایکوئیست ب) باد و ج) باد-فاز نمونه های ۱، ۲، ۳ و ۴ در اسید سولفوریک ۰/۱ مولار	۶۷
۲۱-۴	مدار معادل الکتریکی مورد استفاده برای نتایج حاصل از آزمون طیف سنجی امپدانس الکتروشیمیابی	۶۸
۲۲-۴	برازش منحنی های (الف) نایکوئیست ب) باد و ج) باد-فاز نمونه های ۱، ۲، ۳ و ۴ در اسید سولفوریک ۰/۱ مولار	۶۹
۲۳-۴	مدار معادل رندلز	۷۰
۲۴-۴	تغییرات مقاومت و ظرفیت لایه روین با تغییر اندازه دانه	۷۱
۲۵-۴	منحنی های موت-شاتکی لایه روین نمونه های ۱، ۲، ۳ و ۴ در اسید سولفوریک ۰/۱ مولار	۷۲
۲۶-۴	تصویر میکروسکوپی نوری از فلز پایه پس از آزمون غوطه وری در اسید سولفوریک ۱ مولار	۷۴
۲۷-۴	تصاویر میکروسکوپی الکترونی رویشی از همه نمونه ها پس از آزمون غوطه وری در اسید سولفوریک ۱ مولار	۷۵
۲۸-۴	تصاویر میکروسکوپی الکترونی رویشی در بزرگنمایی بیشتر از همه نمونه ها پس از آزمون غوطه وری	۷۶
۲۹-۴	تصاویر میکروسکوپی الکترونی رویشی از ناحیه ترمومکانیکی نمونه ۳ پس از آزمون غوطه وری	۷۸

فهرست جداول

صفحه

عنوان

۱-۲	ترکیب شیمیایی گروهی از فولادهای زنگنزن دوفازی	۷
۲-۲	ترکیب شیمیایی آلیاژ GOST ۵۶۳۲	۸
۳-۲	خواص فیزیکی دما بالای فولادهای زنگنزن دوفازی در مقایسه با فولاد کربنی و فولادهای زنگنزن آستنیتی	۱۱
۴-۲	مقایسه خواص فیزیکی فولادهای زنگنزن دوفازی با فولاد ساده کربنی و فولادهای زنگنزن آستنیتی	۱۲
۵-۲	حداقل خواص مکانیکی تعیین شده توسط استانداردهای ASTM و EN برای صفحات فولاد زنگنزن دوفازی	۱۳
۶-۲	مقایسه داکتیلیته فولادهای زنگنزن دوفازی و آستنیتی	۱۴
۷-۲	مزایای کلیدی جوشکاری اصطکاکی-اغتشاشی	۲۴
۸-۳	ترکیب شیمیایی آلیاژ GOST ۵۶۳۲	۴۱
۹-۳	پارامترهای جوشکاری اصطکاکی-اغتشاشی	۴۲
۱۰-۳	مشخصات محیط‌های استفاده شده برای آزمون‌های خوردگی	۴۳
۱۱-۴	اندازه دانه فازهای آستنیت و فریت فلز پایه و مراکز نواحی اغتشاش شرایط مختلف جوشکاری	۴۷
۱۲-۴	ضرایب تافل و چگالی جریان خوردگی بر اساس آزمون پلاریزاسیون خطی	۵۴
۱۳-۴	پتانسیل خوردگی و چگالی جریان خوردگی استخراج شده از منحنی‌های پلاریزاسیون پتانسیو دینامیک	۵۶
۱۴-۴	پتانسیل حفره‌دار شدن و پتانسیل حفاظت همه نمونه‌ها در اسید سولفوریک ۰/۱ مولار+کلرید سدیم ۰/۱ مولار	۶۰
۱۵-۴	ارتباط نوع خوردگی با مقادیر مختلف ضریب تراکم	۶۴
۱۶-۴	مقادیر المان‌های به دست آمده از مدار معادل (شکل ۲۱-۴)	۷۱
۱۷-۴	شب منحنی‌های موت-شاتکی و مقادیر چگالی دهنده‌های الکترونی	۷۳

چکیده

در این پژوهش به بررسی رفتار خوردگی فولاد زنگنزن دوفازی کم آلیاژ ۵۶۳۲ GOST پس از جوشکاری اصطکاکی-اغتشاشی پرداخته شده است. برای این منظور، آلیاژ مذکور در سرعت چرخشی ثابت rpm ۸۰۰ و ۵۰ و سرعت‌های مختلف پیشروی ۱۰۰، ۵۰ و ۱۵۰ mm/min پیش روی (SEM) و طیف‌سنجدی (EDS) مورد مطالعه قرار گرفت. رفتار خوردگی نمونه‌ها با استفاده از آزمون‌های اندازه‌گیری پتانسیل مدار باز (OCP)، پلاریزاسیون خطی، پلاریزاسیون پتانسیودینامیک، پلاریزاسیون چرخه‌ای، آمپرمترا مقاومت داخلی صفر (ZRA)، طیف‌سنجدی امپدانس الکتروشیمیایی (EIS)، موت-شاتکی و غوطه‌وری بررسی شد. آزمون پلاریزاسیون چرخه‌ای در محلول اسید سولفوریک ۰/۱ مولار+کلرید سدیم ۰/۰ مولار استفاده شد. آزمون غوطه‌وری به منظور بررسی رفتار خوردگی نواحی مختلف جوش و در محلول اسید سولفوریک ۱ مولار انجام شد. از آزمون آمپرمترا با مقاومت داخلی صفر به منظور بررسی خوردگی گالوانیکی بین فلز پایه و نمونه‌های حاصل از جوشکاری بهره گرفته شد. نتایج نشان داد که پس از جوشکاری اصطکاکی-اغتشاشی هیچ گونه فاز مضري تشکیل نشده است و این روش موجب کاهش اندازه دانه فازهای فریت و آستنیت شده است. آزمون‌های اندازه‌گیری پتانسیل مدار باز، پلاریزاسیون خطی، پلاریزاسیون پتانسیودینامیک، طیف‌سنجدی امپدانس الکتروشیمیایی و غوطه‌وری نشان دادند که فلز پایه نسبت به همه نمونه‌های حاصل از جوشکاری مقاومت به خوردگی کمتری دارد. آزمون پلاریزاسیون چرخه‌ای در محلول اسید سولفوریک ۰/۱ مولار+کلرید سدیم ۰/۱ مولار نشان داد که فلز پایه و نمونه‌های جوشکاری دارای حلقه هیسترزیس مثبت می‌باشند. از آزمون آمپرمترا با مقاومت داخلی صفر نتیجه‌گیری شد که در کوپل‌های تشکیل شده بین فلز پایه و نمونه‌های مختلف جوش، این فلز پایه بود که در نقش آند ظاهر و خورده شد. از آزمون موت-شاتکی مشاهده شد که عیوب نقطه‌ای موجود در لایه روین برای نمونه‌های جوش بسیار کمتر از فلز پایه می‌باشد. در کل، نتایج به دست آمده نشان داد که افزایش سرعت پیشروی در سرعت چرخشی ثابت موجب کاهش اندازه دانه و به دنبال آن پایداری بیشتر لایه روین و بهبود مقاومت به خوردگی نمونه‌های جوشکاری شده نسبت به فلز پایه می‌شود.

کلمات کلیدی

جوشکاری اصطکاکی-اغتشاشی، فولاد زنگنزن دوفازی کم آلیاژ، رفتار خوردگی

فصل اول

مقدمه

فولادهای زنگنزن از مهمترین مواد مهندسی هستند که به طور وسیع در صنایع مختلف استفاده می‌شوند. در میان فولادهای زنگنزن، فولادهای زنگنزن دوفازی به علت دارا بودن خواص مطلوب هر دو نوع فولاد زنگنزن آستینیتی و فریتی نظری استحکام کششی بالا، چقرمگی در دماهای پایین و مقاومت به خوردگی عالی مخصوصاً در برابر خوردگی تنشی (SCC)^۱ در محیط‌های کلریدی، از اهمیت ویژه‌ای برخوردار هستند. این فولادها دارای فازهای فریت و آستینیت با مقادیر برابر می‌باشند. فولادهای زنگنزن دوفازی، بر اساس عدد معادل مقاومت به حفره‌دار شدن (PREN)^۲ به سه دسته کلی کم آلیاژ^۳، آلیاژ متوسط^۴ و پرآلیاژ (فولاد زنگنزن سوپر دوفازی) دسته‌بندی می‌شوند که PREN دسته کم آلیاژ، کمتر از ۳۲ می‌باشد. فولادهای زنگنزن دوفازی کم آلیاژ به دلایلی همچون استحکام بالاتر در مقایسه با فولادهای زنگنزن فریتی و آستینیتی که سبب کاهش وزن سازه می‌شود، و همچنین ارزان‌تر بودن آن‌ها به علت اصلاح ترکیب شیمیایی این مواد (نیکل کم و مولیدن زیاد)، مورد استفاده وسیعی قرار گرفته‌اند [۱ و ۲].

یکی از انواع فولادهای زنگنزن دوفازی کم آلیاژ، فولاد ۵۶۳۲ GOST با استاندارد ISO ۱۷۲۵۴ می‌باشد. این آلیاژ از نوع آستینیتی-فریتی بوده و دارای خواص ماشینکاری خوبی نیز می‌باشد و در مخازن خنک کننده رآکتورها، مخازن مورد استفاده در صنایع شیمیایی و غذایی کاربرد دارد. این فولاد برای ساخت ابزارآلات صنایع شیمیایی و غذایی که نیاز به مقاومت به خوردگی در قطعات جوشکاری است، مورد استفاده قرار می‌گیرد [۳].

با وجود کاربردهای وسیع فولادهای زنگنزن دوفازی کم آلیاژ، جوشکاری ذوبی این مواد برخی مشکلات نظری تغییر ریزساختار و تعادل فازی، کاهش خواص مکانیکی، تشکیل ترک‌های ناشی از انجماد، تسربی تردی هیدروژنی^۵ و همچنین تشکیل فازهای ترد بین‌فلزی را موجب می‌شود. مقادیر فریت بیشتر و دانه‌های درشت‌تر از دیگر رویدادهای

^۱ Stress Corrosion Cracking

^۲ Pitting Resistance Equivalent Number

^۳ Lean

^۴ Intermediate Alloy

^۵ Hydrogen Cracking

ناخوشایند می‌باشد که هم مقاومت به خوردگی و هم خواص مکانیکی اتصال جوش داده شده را کاهش می‌دهند. از سوی دیگر، رشد دانه‌های ناحیه جوش و اکسیداسیون سطحی از مشکلات خیلی جدی در حین جوشکاری ذوبی مرسم فولادهای زنگنزن دوفازی می‌باشد. یکی از روش‌های پیشگیری از این مشکلات، استفاده از تکنولوژی جوشکاری حالت جامد است.

جوشکاری اصطکاکی-اغتشاشی (FSW)^۱ یک فرایند اتصال حالت جامد می‌باشد که توسط انجمن جوشکاری انگلستان (TWI)^۲ در سال ۱۹۹۱ ابداع و توسعه یافت. جوشکاری اصطکاکی-اغتشاشی همراه با ذوب و انجام نیست و منجر به کاهش تشکیل تخلخل و استحاله‌های فازی مضر در حین فرایندهای جوشکاری، تغییر شکل پلاستیک شدید و افزایش دمای ناحیه اغتشاش و اطراف آن می‌شود. این فرایند باعث تغییر قابل ملاحظه ریزساختار شده و جنبه‌های مختلف اندازه دانه، نوع مرزدانه، انحلال یا درشت شدن رسوبات و فروپاشی یا توزیع مجدد بافت را تحت تاثیر قرار می‌دهد.

در ابتدا، جوشکاری اصطکاکی-اغتشاشی محدود به مواد با دمای ذوب پایین از قبیل آلیاژهای آلومینیوم بود [۴]. اما، اخیراً مطالعاتی درباره جوشکاری اصطکاکی-اغتشاشی فولادهای زنگنزن دوفازی صورت گرفته است. این تحقیقات نشان می‌دهند که جوشکاری اصطکاکی-اغتشاشی می‌تواند جوش‌هایی بدون عیب در آلیاژهای زنگنزن دوفازی LDSS [۱] و SAF ۲۰۵ [۵] و SAF ۲۵۰۷ [۴] ایجاد کند. این محققین گزارش کردند که جوشکاری اصطکاکی-اغتشاشی منجر به بازیابی دانه‌ها در ناحیه اغتشاش فولادها شده است. بیشینه دما و حرارت ورودی با افزایش سرعت جوشکاری کاهش می‌یابد و سرعت‌های جوشکاری بالاتر به تشکیل دانه‌های ریزتر فریت و آستنیت در ناحیه اغتشاش منجر می‌شود. گزارش شده است که حرارت ورودی بیشتر در سرعت جوشکاری کمتر و پایداری فریت در دماهای بالا از دلایل عدمه رشد دانه‌های فاز فریت می‌باشد.

انتظار می‌رود که مناطق مختلف جوش به علت مشخصات ریزساختاری متمایز، مقاومت به خوردگی متفاوتی داشته باشند. درباره رفتار خوردگی فولادها پس از جوشکاری اصطکاکی-اغتشاشی، تحقیقات اندکی صورت گرفته است. اخیراً مطالعاتی در مورد بررسی رفتار خوردگی مقاطع حاصل از جوشکاری اصطکاکی-اغتشاشی فولاد زنگنزن آستنیتی L۳۰۴ [۸-۶]، فولادهای زنگنزن فریتی L۴۰۹ [۹] و M۴۰۹ [۱۰] انجام شده است. در مورد فولادهای زنگنزن دوفازی هم رفتار خوردگی فولادهای UNS S۳۲۷۵۰ و UNS S۳۲۷۶۰ [۱۱] پس از جوشکاری اصطکاکی-اغتشاشی بررسی گردیده و مشخص شده که مقاومت به خوردگی مقاطع جوش مشابه با فلنر پایه است. همچنین گزارش شده است که مقاومت به حفره‌دار شدن فولادهای مذکور پس از جوشکاری هیچ گونه تغییری نکرده است. نتایج تحقیق دیگری که روی فولادهای UNS S۳۲۲۰۵ و UNS S۳۲۱۰۱ [۱۲] پس از فرایند جوشکاری اصطکاکی-اغتشاشی انجام شد نشان داد که مقاومت به خوردگی فولاد S۳۲۲۰۵ پس از جوشکاری افزایش ولی برای فولاد S۳۲۱۰۱ کاهش یافته است. علت این امر را به مقدار فاز فریت مربوط دانستند، زیرا که مقدار فریت برای فولاد S۳۲۱۰۱ پس از جوشکاری اصطکاکی-اغتشاشی با افزایش مواجه بوده است، اما برای فولاد S۳۲۲۰۵ مقدار این فاز کاهش داشته است.

با توجه به اهمیت جوشکاری ورقهای فولاد زنگنزن GOST ۵۶۳۲ در مخازن خنک کننده، لزوم بهبود جوشکاری آن‌ها دوچندان شده است. با توجه به صرفه اقتصادی و طراحی نسبتاً راحت‌تر برای بهبود خواص ناحیه جوش نسبت به

^۱ Friction Stir Welding

^۲ The Welding Institute

^۳ Lean Duplex Stainless Steel

روش‌هایی نظیر عملیات حرارتی پس از جوشکاری، انتخاب و اعمال روش جوشکاری اصطکاکی-اغتشاشی برای این فولاد جهت بهبود خواص مکانیکی و مقاومت به خوردگی منطقی به نظر می‌رسد. مقدار حرارت ورودی در هن جوشکاری به منظور حفظ نسبت تعادلی فریت و آستنیت و عدم تشکیل فازهای مضر خیلی مهم می‌باشد. با توجه به استفاده از آلیاز ۵۶۳۲ GOST در محیط‌های خورنده نظیر صنایع شیمیایی و صنایع غذایی، مقاومت به خوردگی آن اهمیت بسیار زیادی دارد. با این وجود، در رابطه با تاثیر جوشکاری اصطکاکی-اغتشاشی بر رفتار خوردگی فولادهای زنگ‌زن دوفازی تحقیقات بسیار کمی صورت گرفته است. لذا هدف از این پژوهش، بررسی رفتار خوردگی مقاطع جوش فولاد زنگ‌زن دوفازی کم آلیاز ۵۶۳۲ GOST پس از انجام جوشکاری اصطکاکی-اغتشاشی می‌باشد که بدین منظور به ارتباط بین ریزساختار و نتایج به دست آمده از آزمایش‌ها پرداخته می‌شود. برای این منظور، آلیاز مذکور در سرعت چرخشی ثابت ۸۰۰ rpm و سرعت‌های مختلف پیشروی ۵۰، ۱۰۰ و ۱۵۰ mm/min جوشکاری شد. ریزساختار همه نمونه‌ها با استفاده از پراش پرتو ایکس، میکروسکوپ الکترونی روبشی و طیف‌سنجدی انرژی اشعه ایکس مورد مطالعه قرار گرفت. همچنین، رفتار خوردگی نمونه‌ها با استفاده از آزمون‌های اندازه‌گیری پتانسیل مدار باز، پلاریزاسیون خطی، پلاریزاسیون پتانسیودینامیک، پلاریزاسیون چرخه‌ای، آمپر متر با مقاومت داخلی صفر، طیف‌سنجدی امپدانس الکتروشیمیایی، موت-شاتکی و غوطه‌وری بررسی شد.

فصل دوم

مرواری بر مطالب

۱-۲ فولادهای زنگنزن

۱-۱-۲ معرفی فولادهای زنگنزن

فولادهای زنگنزن، شناخته شده و پر کاربردترین مواد برای مقاومت در برابر خوردگی می باشند. این فولادها، آلیاژهایی بر پایه آهن هستند که برای زنگنزن بودن بایستی حاوی حداقل ۱۰/۵٪ کروم باشند. این میزان کروم باعث تشکیل یک لایه غیرفعال اکسیدی، چسبنده، خودترمیم شونده و غنی از کروم روی سطح فلز می شود که از خوردگی آن جلوگیری می کند. البته باید توجه داشت که بسیاری از فولادهای حاوی ۱۲٪ کروم و یا فولادهایی با میزان کروم بیشتر در محیطهای به شدت خورنده دچار خوردگی می شوند. این موضوع ناشی از آن است که مقداری از کروم به صورت کاربید و یا ترکیبات دیگر در می آید و میزان کروم محلول در زمینه کاهش می باید و به کمتر از حد مورد نیاز جهت تشکیل پوسته محافظت اکسیدی پیوسته می رسد. برای محافظت در برابر حفره دار شدن و زنگزدن در محیطهای شدیداً خورنده نظیر اتمسفرهای مرطوب یا محیطهای آلوده و یا در حضور عناصری نظیر کربن، مقادیر بیشتری از کروم بایستی افزوده شود. به فولادهای زنگنزن علاوه بر کروم، عناصر آلیاژی دیگری نظیر نیکل، مس، تیتانیوم، آلومینیوم، سیلیسیم، مولیبدن و نیتروژن به منظور افزایش خواص آنها افزوده می شود. همچنین، فولادهای زنگنزن مقاومت خوبی در برابر اکسیداسیون، حتی در دماهای بالا دارند و به همین خاطر به عنوان آلیاژهای مقاوم به حرارت شناخته می شوند. مقاومت به اکسیداسیون در دمای بالا نیز به علت میزان بالای کروم فولادهای زنگنزن می باشد [۱۳-۱۵].

فولادهای زنگنزن دارای کاربردهای گسترده‌ای از جمله استفاده در عملیات تولید انرژی، صنایع شیمیایی و کاغذسازی، ساخت بسیاری از محصولات تجاری نظیر تجهیزات آشپزخانه و قطعات اتومبیل می باشند. همچنین این فولادها به دلیل خلوص بالا، به طور گسترده در کاربردهای استریل مثل فرایندهای داروسازی، تولید لبیات و صنایع غذایی استفاده می شوند [۱۳].

۲-۱-۲ انواع فولادهای زنگنزن

فولادهای زنگنزن را می‌توان به پنج گروه اصلی که در ذیل آمده تقسیم‌بندی نمود:

- ۱) فولادهای زنگنزن فریتی (۴XX)
- ۲) فولادهای زنگنزن آستینیتی (۲XX و ۳XX)
- ۳) فولادهای زنگنزن مارتنزیتی (۴XX)
- ۴) فولادهای زنگنزن دوفازی (آستینیتی-فریتی)
- ۵) فولادهای زنگنزن رسوب سخت شونده (PH)^۱

برخلاف سایر مواد که دسته‌بندی آن‌ها معمولاً براساس ترکیب شیمیایی صورت می‌گیرد، دسته‌بندی فولادهای زنگنزن براساس فازهای متالورژیکی می‌باشد که چهار گروه اول بر همین اساس می‌باشند و گروه پنجم شامل فولادهایی است که با کمک عملیات حرارتی پیرسازی و ایجاد رسوب‌های استحکام دهنده در زمینه استحکام می‌یابند [۱۳ و ۱۶]. سه فاز اصلی در فولادهای زنگنزن، فریت، آستینیت و مارتنزیت است و این فازها با تنظیم مناسب ترکیب شیمیایی فولاد حاصل می‌شوند. گروههای مختلف فولادهای زنگنزن دارای خواص مختلفی هستند. برای مثال، فولادهای زنگنزن آستینیتی، غیرمغناطیس هستند اما انواع مارتنزیتی و فریتی، فرومغناطیس می‌باشند [۱۴]. انجمن آهن و فولاد آمریکا (AISI)^۲ از سیستمی با سه شماره که گاهی با یک حرف نیز همراه است برای تعیین نوع فولاد زنگنزن استفاده می‌کند [۱۳]. روش دسته‌بندی در استانداردهایی مانند استاندارد روسی متفاوت است و آلیاژهایی در این استاندارد وجود دارد که معادل آن‌ها در استانداردهای دیگر نمی‌باشد. یکی از گروههای شناخته شده در استاندارد روسی گروه ۵۶۳۲ GOST می‌باشد که شامل آلیاژهای مقاوم به حرارت با ساختارهای آستینیتی و دوفازی است. در این میان فولادهای دوفازی به دلیل خواص ویژه، کاربردهای خاصی دارند.

۲-۲ فولادهای زنگنزن دوفازی

۲-۲-۱ معرفی فولادهای زنگنزن دوفازی

فولادهای زنگنزن دوفازی از دهه ۱۹۳۶ شناخته شده‌اند [۱۳] و دارای دو فاز آستینیت و فریت با درصدهای تقریباً یکسان هستند. بنابراین، این فولادها خواص مفید هر دو نوع فولاد زنگنزن آستینیتی و فریتی نظری استحکام کششی و خستگی بالا، چقلمگی خوب حتی در دماهای پایین، شکل‌پذیری و جوش‌پذیری مناسب و مقاومت عالی در برابر خوردگی تنشی، خوردگی حفره‌ای و خوردگی یکنواخت را دارا هستند [۱۷]. استحکام بالا و مقاومت به خوردگی موضعی این فولادها ناشی از فاز فریت است، در حالی که حضور فاز آستینیت باعث افزایش داکتیلیته و مقاومت به خوردگی یکنواخت آن‌ها می‌گردد [۵]. چون فولادهای زنگنزن دوفازی نسبت به فولادهای آستینیتی مقدار فریت بیشتری دارند، بیشتر فرومغناطیس هستند و هدایت حرارتی بیشتر و انساط حرارتی کمتری دارند. این فولادها در کاربردهایی استفاده می‌شوند که از مقاومت به خوردگی عالی، استحکام و یا هر دوی آن‌ها بهره برده شود [۱۳]. آن‌ها نسبت به فولادهای زنگنزن آستینیتی، مقاومت بیشتری به خوردگی تنشی داشته و استحکام بالاتری از خود نشان می‌دهند. این مزیت‌ها و عوامل مثبت دیگر، باعث استفاده وسیع از فولادهای زنگنزن دوفازی در صنایع نفت و گاز، پتروشیمی و کاغذسازی شده است [۴]. ترکیب شیمیایی این فولادها در استانداردهای مختلف کمی متفاوت است اما

^۱ Precipitation-Hardenable
^۲ American Iron and Steel Institute

عموماً این فولادها دارای ۲۰ تا ۳۰ درصد وزنی کروم و ۴ تا ۸ درصد وزنی نیکل می‌باشند [۲]. در جدول ۱-۲ ترکیب شیمیایی گروهی از فولادهای زنگنزن دوفازی ارائه شده است.

جدول ۱-۲. ترکیب شیمیایی گروهی از فولادهای زنگنزن دوفازی [۲].

Tradename	Producer	Standard	Cr	Mo	Ni	N	Other elements	PREN
SAF 2304	Sandvik, Avesta	UNS S 32304	23	0.2	4.0	0.10		25
UR 35N	Creusot-Loire	UNS S 32304	23	0.2	4.0	0.10		25
UR 45N	Creusot-Loire	UNS S 31803	22	3.0	5.3	0.17		35
SAF 2205	Sandvik, Avesta	UNS S 31803	22	3.0	5.3	0.17		35
FALC 223	Krupp Stahl	UNS S 31803	22	3.0	5.3	0.17		35
DP 3	Sumitomo	UNS S 31260	25	3.0	6.5	0.16	0.5 Cu, 0.3 W	37
UR 52N	Creusot-Loire	UNS S 32550	25	3.0	6.5	0.18	1.6 Cu	38
Zeron 100	Weir	UNS S 32760	25	3.6	7.0	0.25	0.7 Cu, 0.7 W	41
UR 52N+	Creusot-Loire	UNS S 32550	25	3.8	6.0	0.26	1.5 Cu	42
SAF 2507	Sandvik, Avesta	UNS S 32750	25	3.8	7.0	0.27		42

در فولادهای زنگنزن اعم از فولادهای زنگنزن آستنیتی و دوفازی، مقاومت به حفره‌دار شدن در اصل تابعی از ترکیب شیمیایی می‌باشد و روابط مختلف عدد معادل مقاومت به حفره‌دار شدن برای نمایش این اثر گسترش یافته است. رایج‌ترین این روابط در ذیل آمده است [۱۳ و ۱۸]:

$$\text{PREN} = \% \text{Cr} + 3.3 \times (\% \text{Mo} + 0.5 \times \% \text{W}) + 16 \times (\% \text{N}) \quad (1-2)$$

همان‌طور که در جدول ۱-۲ مشاهده می‌شود، عدد PREN برای انواع فولادهای زنگنزن دوفازی متفاوت است.

۲-۲-۲ انواع فولادهای زنگنزن دوفازی

برای فولادهای زنگنزن دوفازی دسته‌بندی‌های مختلفی مطرح شده است، اما به طور کلی و به صورت سنتی بر اساس عدد معادل مقاومت به حفره‌دار شدن به سه دسته کم‌آلیاژ، آلیاژ‌متوسط و پرآلیاژ یا سوپر دوفازی تقسیم می‌شوند [۱ و ۲]. از سوی دیگر، توسعه فولادهای زنگنزن دوفازی همچنان ادامه دارد به طوری که فولادهای دوفازی نوین را می‌توان به پنج دسته تقسیم کرد:

۱) فولادهای زنگنزن دوفازی کم‌آلیاژ مانند ۲۳۰۴، ۲۲۰۵، که در این نوع مولیبدن به طور عمده و پیش‌بینی شده اضافه نمی‌شود؛

۲) فولادهای زنگنزن دوفازی استاندارد مانند ۲۲۰۵، که بیش از ۸۰ درصد از کاربرد فولادهای دوفازی مربوط به این نوع است؛

- (۳) فولادهای زنگنزن دوفازی ۲۵ درصد کروم^۱، مانند آلیاژ ۲۵۵ با PREN کمتر از ۴۰؛
- (۴) فولادهای زنگنزن سوپر دوفازی (PREN بین ۴۰ تا ۴۵)، با ۲۶-۲۵ درصد کروم و مقادیر بیشتری از مولیبدن و نیتروژن در مقایسه با انواع ۲۵ درصد کروم، مانند ۲۵۰۷؛
- (۵) فولادهای زنگنزن فرا دوفازی^۲، این نوع به صورت فولاد زنگنزن دوفازی پرآلیاژ با PREN بیش از ۴۵ تعریف می‌شود [۱۹].

فولادهای زنگنزن دوفازی کمآلیاژ به منظور پر کردن فاصله عملکردی بین فولادهای زنگنزن آستنیتی ۳۱۶ و فولادهای زنگنزن دوفازی ۲۲۰۵ طراحی شده‌اند. این فولادها نسبت به نوع ۲۲۰۵ دارای مقاومت به خوردگی کمتری می‌باشند، اما نسبت به نوع ۳۱۶ مقاومت به خوردگی و استحکام بالاتری را دارند. فولادهای زنگنزن دوفازی کمآلیاژ به دو دلیل عمدۀ مورد استفاده وسیع قرار می‌گیرند؛ اول، استحکام بالاتر در مقایسه با فولادهای زنگنزن فریتی و آستنیتی که سبب کاهش وزن سازه می‌شود، و دوم، اصلاح ترکیب این مواد و کمتر بودن عناصر گران‌قیمت در ترکیب آن‌ها (نیکل کم و مولیبدن زیاد) که سبب ارزان‌تر شدن آن‌ها شده است. از این‌رو، آن‌ها جایگزین مناسبی برای فولادهای کمآلیاژ یا ساده کربنی در کاربردهایی که نیاز به ترکیبی از خواص مکانیکی و خوردگی است، به شمار می‌آیند [۱]. کم بودن نیکل و مولیبدن در این فولادها نسبت به دیگر فولادهای زنگنزن دوفازی موجب آهسته‌تر شدن رسوب‌گذاری فازهای بین‌فلزی است. مسئله اصلی در رابطه با فولادهای زنگنزن دوفازی کمآلیاژ، باقیماندن تعادل بین فازهای آستنیت و فریت و همچنین پایداری آستنیت در برابر استحاله مارتزیتی در طول تغییر شکل است [۲۰].

۳-۲-۲ معرفی فولاد زنگنزن دوفازی کمآلیاژ GOST ۵۶۳۲

فولاد زنگنزن دوفازی کمآلیاژ ۵۶۳۲ GOST یکی از محصولات فولادهای دوفازی کشور روسیه می‌باشد. با توجه به گستردگی و تفاوت استانداردها این فولاد معادل DIN نداشته و معادل آن ISO ۱۷۲۵۴ می‌باشد. ترکیب شیمیایی این فولاد در جدول ۲-۲ ارائه شده است [۲۱]. این فولاد با دارا بودن حدود ۲۱ درصد کروم و ۵ درصد نیکل و مقدار بسیار ناچیزی مولیبدن در دسته فولادهای زنگنزن دوفازی کمآلیاژ قرار می‌گیرد. عدد PREN این فولاد در حدود ۲۴ بوده و حداقل مقاومت به خوردگی فولادهای دوفازی را دارا می‌باشد. این نوع فولادها به دو دلیل عمدۀ گسترش یافته‌اند، یکی اصلاح عناصر آلیاژی (نظیر نیکل و مولیبدن) که نتیجه آن کاهش هزینه می‌باشد و دیگری استحکام بالاتر (نسبت به فولادهای زنگنزن آستنیتی) که اجازه کاهش ضخامت را به ما می‌دهد [۲۲]. این آلیاژ در مخازن خنک‌کننده رآکتورها و برای ساخت ابزارآلات صنایع شیمیایی و غذایی که نیاز به مقاومت به خوردگی در قطعات جوشکاری می‌باشد، مورد استفاده قرار می‌گیرد [۳].

جدول ۲-۲. ترکیب شیمیایی آلیاژ ۵۶۳۲ GOST (درصد وزنی) [۲۱].

Fe	C	Si	Mn	S	Cr	Mo	Ni	W	Ti	Al	Cu
باقیمانده	۰/۰۸	۰/۰۳	۰/۰۹-۰/۱۴	۰/۰۸	۰/۰۸	۰/۰۳	۰/۰۳	۰/۰۲	۰/۰۵	۰/۰۸	۰/۰۳

^۱ 25 Cr Duplex
^۲ Hyper Duplex

۴-۲ خواص فیزیکی فولادهای زنگنزن دوفازی

تاثیر عناصر آلیاژی در فولادهای زنگنزن به صورت عبارات "کروم معادل"^۱ و "نیکل معادل"^۲ بیان می‌گردد. در این روابط، عناصر پایدارکننده آستنیت در رابطه نیکل معادل و پایدارکننده‌های فریت در رابطه کروم معادل قرار داده می‌شوند. تاکنون روابط تجربی زیادی برای این پارامترها ذکر شده است. به عنوان مثال اولین رابطه را شفلر^۳ در سال ۱۹۴۹ به صورت زیر ارائه کرد:

$$Cr_{eq} = Cr + Mo + 1.5Si + 0.5Nb \quad (2-2)$$

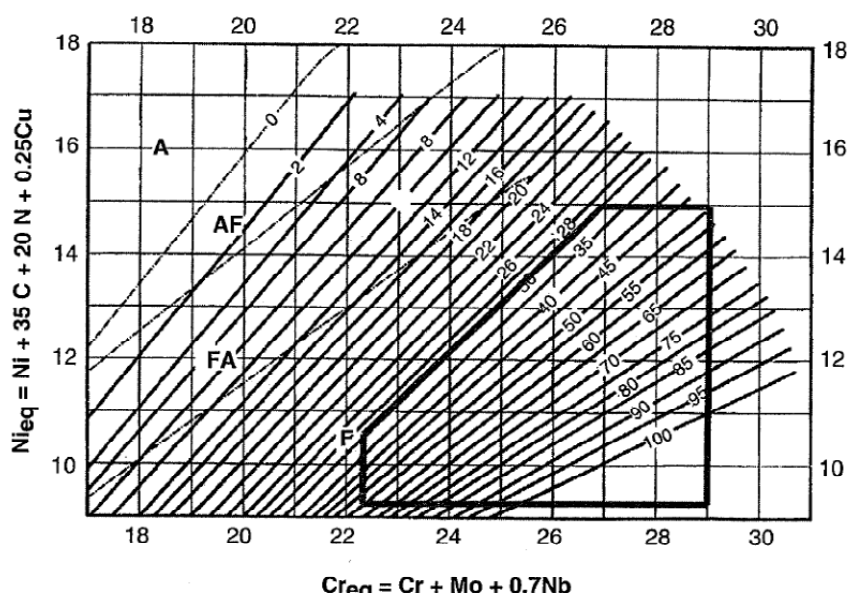
$$Ni_{eq} = Ni + 30C + 0.5Mn \quad (3-2)$$

از سال ۱۹۴۹ محققان زیادی بر روی این موضوع تحقیق کرده و عناصر آلیاژی دیگر را وارد این روابط کرده‌اند یا به تصحیح ضرایب پرداخته‌اند [۲۳]. در حال حاضر، کروم معادل و نیکل معادل مورد استفاده در نمودار WRC-۱۹۹۲ از معتبرتین و دقیق‌ترین روابط به دست آمده می‌باشند که به صورت روابط ۴-۲ و ۵-۵ تعریف می‌شوند.

$$Cr_{eq} = Cr + Mo + 0.7Nb \quad (4-2)$$

$$Ni_{eq} = Ni + 35C + 20N + 0.25Cu \quad (5-2)$$

همچنین، نمودار WRC-۱۹۹۲ در شکل ۱-۲ نشان داده شده است.



شکل ۱-۲. نمودار WRC-۱۹۹۲ با گستره تقریبی ترکیب شیمیایی فولادهای زنگنزن دوفازی [۱۳].

فولادهای زنگنزن دوفازی معمولاً در مقایسه با فولادهای زنگنزن آستنیتی دارای نسبت عناصر فریت‌زا به عناصر آستنیت‌زای بالاتری هستند و این امر به خاطر آن است که فولادهای زنگنزن دوفازی به صورت ۱۰۰٪ فریتی انجماد یابند [۱۳].

^۱ Chromium Equivalent

^۲ Nickel Equivalent

^۳ Schaeffler